

東北大学工学部 正員 新闇 茂

## 1)はじめに

砂のような粒状体の力学において、最も重要な研究課題は、離散的な粒子の集団との統計力学的(連続体力学的)挙動を支配する物理法則(構成法則)の確立である。松岡と中井は、<sup>1)</sup> 平面上の種々の応力経路上の実験データを整理し、応力空間内のある平面上の垂直応力  $\sigma_n$  に対するせん断応力の比  $\gamma_{\sigma_n}$  とせん断歪増分  $d\gamma$  に対する垂直歪増分  $d\epsilon_n$  の比  $d\epsilon_n/d\gamma$  の間には固有な関係が存在することを見出<sup>2)</sup>し、この平面を SMP(空間滑動面)と名づけた。一方、著者は応力空間内の単位法線ベクトルに対して、 $N$ -変換を導入し、変形に伴って生じる誘導異方性を消去した摩擦応力空間を導びき、この空間内の単位球面上での  $\gamma_{\sigma_n}$  の値の分布の対称性とせん断滑動確率ベクトルを用いて、理論的観点から SMP と数学的に等価な OFP(Octahedral Friction Plane: 八面体摩擦面)を誘導し、SMP の統計力学的意味を明らかにした。本論文では、OFP の誘導過程を概説し、OFP または SMP の誘導過程より、応力テンソルと歪増分テンソルの共軸性が導かれるることを示す。

## 2) OFP の誘導について

3つの主応力  $\sigma_1, \sigma_2, \sigma_3$  を軸とする応力空間内の単位球面上の単位法線ベクトルを  $n$  とする。このとき、粒状体内における単位法線ベクトル  $n$  をもつ面上の垂直応力  $\sigma_n$  及びせん断応力では、それぞれ

$$\sigma_n = \sigma_1 n_1^2 + \sigma_2 n_2^2 + \sigma_3 n_3^2 \quad (2.1)$$

$$\tau^2 = \left(\frac{\sigma_1 - \sigma_2}{2}\right)^2 (4n_1^2 n_2^2) + \left(\frac{\sigma_2 - \sigma_3}{2}\right)^2 (4n_2^2 n_3^2) + \left(\frac{\sigma_3 - \sigma_1}{2}\right)^2 (4n_3^2 n_1^2) \quad (2.2)$$

と記すことができる。上式(2.1) (2.2) より

$$\left(\frac{\tau}{\sigma_n}\right)^2 = \frac{(\sigma_1 - \sigma_2)^2 n_1^2 n_2^2 + (\sigma_2 - \sigma_3)^2 n_2^2 n_3^2 + (\sigma_3 - \sigma_1)^2 n_3^2 n_1^2}{(\sigma_1 n_1^2 + \sigma_2 n_2^2 + \sigma_3 n_3^2)^2} \quad (2.3)$$

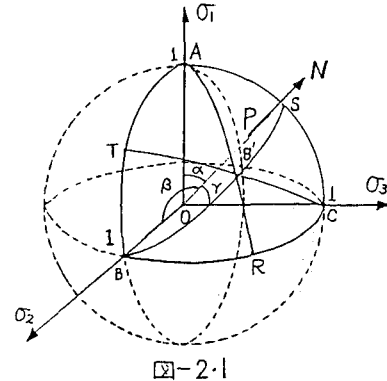
ここで、次のような単位法線ベクトルの変換( $N$ -変換)

$$N_1 = \sqrt{\sigma_1/\sigma_n} n_1, N_2 = \sqrt{\sigma_2/\sigma_n} n_2, N_3 = \sqrt{\sigma_3/\sigma_n} n_3 \quad (2.4)$$

を導入する。このときベクトル  $N = (N_1, N_2, N_3)^T$  は

$$N \cdot N = 1 \quad (2.5)$$

を満足し、単位ベクトルとなっている。 $N$ -変換により(2.3)は  $\left(\frac{\tau}{\sigma_n}\right)^2 = \left(\frac{\sigma_1 - \sigma_2}{2\sqrt{\sigma_1\sigma_2}}\right)^2 (4N_1^2 N_2^2) + \left(\frac{\sigma_2 - \sigma_3}{2\sqrt{\sigma_2\sigma_3}}\right)^2 (4N_2^2 N_3^2) + \left(\frac{\sigma_3 - \sigma_1}{2\sqrt{\sigma_3\sigma_1}}\right)^2 (4N_3^2 N_1^2)$  と書き換えられる。式(2.1)は  $n$  方向の垂直応力  $\sigma_n$ 、また、式(2.2)は  $n$  を単位法線ベクトルとする平面上のせん断応力を表わしているが、式(2.6)は  $N$  方向の



応力比を表しているから、 $n$  を単位法線ベクトルとする応力空間を  $N$  を単位法線ベクトルとする空間と区別し、後者を「摩擦応力空間」(図-2-1参照)と呼ぶ。上式(2.6)を

$$\frac{\tau}{\sigma_n} = \sqrt{\left(\left[\frac{\tau}{\sigma_n}\right]_{12}\right)^2 + \left(\left[\frac{\tau}{\sigma_n}\right]_{23}\right)^2 + \left(\left[\frac{\tau}{\sigma_n}\right]_{31}\right)^2} \quad (2.7)$$

$$\text{ただし} \quad \left[\frac{\tau}{\sigma_n}\right]_{12} = \frac{|\sigma_1 - \sigma_2|}{2\sqrt{\sigma_1\sigma_2}} (2|N_1 N_2|) \quad (2.8)$$

$$\left[\frac{\tau}{\sigma_n}\right]_{23} = \frac{|\sigma_2 - \sigma_3|}{2\sqrt{\sigma_2\sigma_3}} (2|N_2 N_3|) \quad (2.9)$$

$$\left[\frac{\tau}{\sigma_n}\right]_{31} = \frac{|\sigma_3 - \sigma_1|}{2\sqrt{\sigma_3\sigma_1}} (2|N_3 N_1|) \quad (2.10)$$

のように書き換えるれば、 $N_1, N_3$  の実数である  $[\frac{\tau}{\sigma_n}]_{13}$  はその実数形より明らかのように、図-2-1の  $1/4$  球面  $ABC B'$  上で曲線  $ASC$  に沿って対称であり、また、 $N_1 = N_3$  ( $\alpha = \beta$ ) となる曲線  $BSB'$  に沿っても対称な分布形となつてあり、点  $S$  において、最大値  $|\sigma_1 - \sigma_3|/(2\sqrt{\sigma_1\sigma_3})$  をとることに注意する。

一般に、砂のような粒状体は摩擦性材料と呼ばれ、粒子のせん断滑動確率は垂直応力  $\sigma_n$  とせん断応力での比によって支配されるものと考えられている。図-2-1の摩擦応力空間内の単位球面上の法線ベクトル  $N$  方向のせん断滑動確率は、式(2.7)によって支配され、また、主応力成分  $\sigma_1$  と  $\sigma_3$  だけに属するせん断滑動確率は、式(2.10)の  $[\frac{\tau}{\sigma_n}]_{31}$  によって支配される。 $[\frac{\tau}{\sigma_n}]_{31}$  は  $N_1$  と  $N_3$  の実数であるから、せん断滑動の生じる確率は方向に依存するので、単位球面上にせん断滑動の生じる確率を表すベクトル  $V$  (せん断滑動確率ベクトル) を導入し、 $[\frac{\tau}{\sigma_n}]_{31}$  の値の分布の対称性を考慮して、摩擦応力空間内の単位球面の部分球面  $ABC B'$  上の全てのせん断滑動確率ベクトルを

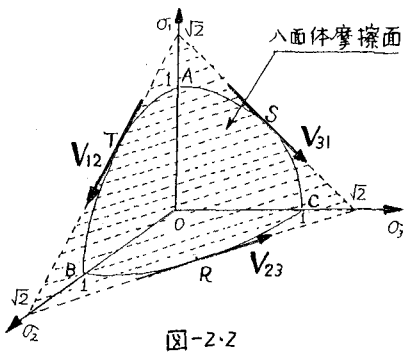


図-2-2

合成すれば、図-2-2の点Sにおいて、単位球面に接するベクトル<sup>2)</sup>  $\vec{V}_{31}$ となる。換言すれば、 $[\gamma_{\text{fr}}]_{31}$ によるせん断滑動の効果は  $\vec{V}_{31}$ によって代表させることができる。同様な考察を  $[\gamma_{\text{fr}}]_{12}$  及び  $[\gamma_{\text{fr}}]_{23}$  に対して行えば、それぞれせん断滑動確率ベクトル  $\vec{V}_{12}$ ,  $\vec{V}_{23}$  が得られる。これら3つのベクトルは全て平面  $x+y+z=\sqrt{2}$  上にあり、この平面上の単位法線ベクトルは

$$\mathbf{n}_{\text{OFP}} = \frac{1}{\sqrt{3}} (1, 1, 1)^T \quad (2.11)$$

である。式(2.11)は、オイ豪限内の平面であるが、 $[\gamma_{\text{fr}}]_{12}$ ,  $[\gamma_{\text{fr}}]_{23}$ ,  $[\gamma_{\text{fr}}]_{31}$  の対称性により、他の豪限についても、同様な平面が得られ、これらの平面は正八面体面(八面体摩擦面: OFP面)を構成する。式(2.4)の  $\mathbf{N}_{\text{OFP}}$  を式(2.4)によて逆変換すれば、松岡と中井の導入した SMP 上の単位法線ベクトル

$$\mathbf{n}_{\text{SMP}} = \sqrt{\frac{I_2}{I_1}} \left( \frac{1}{\sqrt{\sigma_1}}, \frac{1}{\sqrt{\sigma_2}}, \frac{1}{\sqrt{\sigma_3}} \right)^T \quad (2.12)$$

が得られる。ただし、 $I_1, I_2, I_3$  は応力テンソルのオ2, オ3不変量である。誘導過程から明らかのように、OFP面または SMP 面は、離散的な粒子の集合体のせん断滑動の統計的代表面としての意味を有している。応力空間内の単位球面上での  $[\gamma_{\text{fr}}]_{12}$ ,  $[\gamma_{\text{fr}}]_{23}$ ,  $[\gamma_{\text{fr}}]_{31}$  の値の分布には、ここで述べたようす対称性は存在しないこと及び式(2.12)より明らかのように、SMP面は応力状態の変化に伴て変化するが、OFP面は応力状態の変化によって変化せず、摩擦応力空間内に固定された面となっていることに注意する。

### 3) 応力テンソルと歪増分テンソルの共軸性について

応力状態が  $O_1 O_2 O_3$  の場合、3つのモールの応力円が存在し、 $O_1$  で座標の原点より個々のモールの応力円に2本の接線を引くことができ、これらの

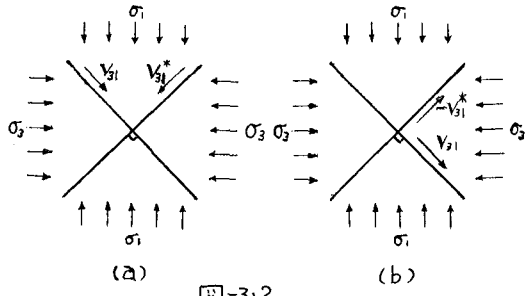


図-3-2

2本の接線は互いに共役な関係にある。例えば、 $O_1$ -軸上の点  $\sigma_1, \sigma_3$  を通るモールの応力円の互いに共役な一组の接線は、摩擦応力空間では、図-3-1に示すような互いに直交する共役な一组の平面に対応しており、 $\vec{V}_{31}^*$  は  $\vec{V}_{31}$  と共役な関係にあるせん断滑動確率ベクトルである。図-3-2(a)は、図-3-1を  $O_1$  軸の方向から見た場合であり、この図を図-3-2(b)のように書き換えて力学的意味は等価である。 $\|\vec{V}_{31}\| = \|\vec{V}_{31}^*\|$  であるから、図-3-1と図-3-2(a)(b)のせん断滑動確率ベクトルの方向から明らかのように、 $[\gamma_{\text{fr}}]_{31}$  は  $O_1$  と  $O_2$  軸及び  $O_2$  と  $O_3$  軸の作る平面に関する対称な確率で生じるせん断滑動、及びその結果としての対称な変形を引き起こすので、 $[\gamma_{\text{fr}}]_{31}$  に起因して生じる歪増分テンソルの2つの主軸は、それぞれ  $O_1$  及び  $O_3$  軸の方向に一致しなければならない。 $[\gamma_{\text{fr}}]_{31}$  に生じる  $O_1$  軸方向の歪増分は生じないことに注意する。上の結論は  $[\gamma_{\text{fr}}]_{12}$ ,  $[\gamma_{\text{fr}}]_{23}$  によるせん断滑動重から生じる歪増分テンソルについても全く同様である。したがって、応力状態が  $O_1 > O_2 > O_3$  の場合に生じる変形は、 $O_1$  と  $O_2$  軸、 $O_1$  と  $O_3$  軸及び  $O_2$  と  $O_3$  軸がそれぞれ構成する平面に固有に統計的に対称に生じ、応力テンソルと歪増分テンソルの主軸は共軸となりなければならないと考へられる。また、上述の解析は主応力軸が時間と共に変化する場合にあっても全く同様である。しかしながら、上述の解析からは、境界などの拘束により、統計的に対称なせん断滑動が妨げられる場合には、応力テンソルと歪増分テンソルの共軸性は成立しないことになり、著者らが以前、各々の載荷板が独立で自由移動の可能な光弾性せん断試験装置を設計して行った実験の結果及び考察と一致する。したがって、応力テンソルと歪増分テンソルの共軸性は離散的な摩擦性粒子の集合体が、境界などからせん断滑動を妨げられることなく、応力状態に対応して連続体のように変形する場合の統計的秩序であると考える。

参考文献  
 (1) Matsuoka, H. & Nakai, T.: Proc. of JSCE, No. 232 1974, pp. 59-70.  
 (2) 新開, 佐武: 第20回 土質工学研究発表会, 1985  
 (3) 熊坂, 佐武, 新開: 土学会第36回年次学術講演会講演提要集, 1981, pp. 3-4.

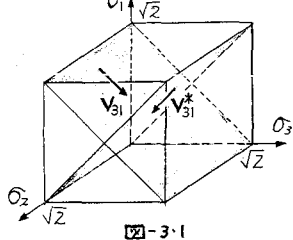


図-3-1